

УДК 524.35-335.7

ОБ ЭФФЕКТИВНЫХ ТЕМПЕРАТУРАХ ХИМИЧЕСКИ ПЕКУЛЯРНЫХ ЗВЕЗД

Ю. В. Глаголевский, Н. М. Чунакова

Дан список, содержащий свыше 300 химически пекулярных звезд, для которых сделаны оценки эффективных температур в шкале Адельмана. Температуры определены на основании литературных данных о распределении энергии в непрерывных спектрах звезд, по Q -индексу UVB -фотометрии, а также по индексам X и $(B2-G)$ многоцветной фотометрии. Анализ полученных температур показал, что они достаточно надежны для многих статистических исследований.

A list of more than 300 chemically peculiar stars is given for which the estimates of effective temperatures are made. The temperatures were derived on the basis of literature data about the energy distributions of these stars, using the index Q of UVB photometry and also the X and $(B2-G)$ parameters of multicolour photometry. An analysis of the obtained temperatures has shown that these temperatures are sufficiently reliable for many statistical investigations.

При изучении и уточнении различных физических параметров химически пекулярных (СР) звезд, необходимо в первую очередь уделить внимание созданию надежной температурной шкалы. Это сложная проблема, учитывая существование значительных химических аномалий в атмосферах таких звезд, присутствие в них сильных магнитных полей и др.

В наших исследованиях мы обычно использовали эффективные температуры T_e из списка [1], взятые из различных литературных источников и приведенные к одной системе [2, 3]. При этом использовались наблюдательные данные, полученные по распределению энергии в непрерывных спектрах звезд. Фактически эта система температур основывалась на калибровке α Луг из [2]. В связи с новой калибровкой Хейеса—Латама [4] и появлением ряда работ Адельмана ([5—9] и ссылки в них на другие работы этой серии), посвященных изучению распределения энергии в спектрах значительного числа СР-звезд, возникла возможность оценок T_e в этой системе и для других звезд, для которых есть измерения показателей цвета в UVB -системе, многоцветной системе или известны T_e , определенные по распределению энергии в их спектрах другими авторами. Система температур Адельмана имеет ряд преимуществ перед более ранними оценками. Основные из них следующие:

- 1) использована новая, более точная калибровка α Луг;
- 2) применено теоретическое распределение энергии из моделей Куруча [10], которые более точно, чем, скажем, модели Михаласа [11] описывают распределение энергии в пашеновском континууме благодаря учету покровного эффекта;
- 3) Адельман измерял распределение энергии в непрерывных спектрах вплоть до $\lambda \approx 7000$ Å и использовал длинноволновую часть спектра при сравнении с теоретическим распределением энергии. В результате существенно уменьшилось влияние линий поглощения водорода и металлов в фиолетовой области спектра, а также влияние переизлученной из ультрафиолета энергии, интенсивность которой уменьшается в сторону длинных волн.

Определение T_e по индексу Q . Для получения эффективных температур на основании UVB -фотометрии мы поступили следующим образом. Для 77 стандартных звезд из списка Адельмана (работы I—III) мы построили зависимость

$(T_e(A))$, (Q) . Здесь $Q = (U-B) - 0.72(B-V)$ является вторичным температурным параметром, свободным от межзвездного покраснения. Указанная зависимость — плавная кривая, которая позволяет с помощью индекса Q оценивать температуры звезд в интервале от 7000 до 30000 К. Зависимость меняет свой ход в области $Q \approx 0$, и здесь оценки T_e менее уверенные. Ясно, однако, что, применяя эту зависимость к СР-звездам, необходимо внести в получаемые для них T_e поправки, связанные с аномалиями распределения энергии у химически пекулярических звезд и в основном вызванные уменьшениями бальмеровскими скачками [12]. Для оценок величины поправки ΔT_e построена зависимость

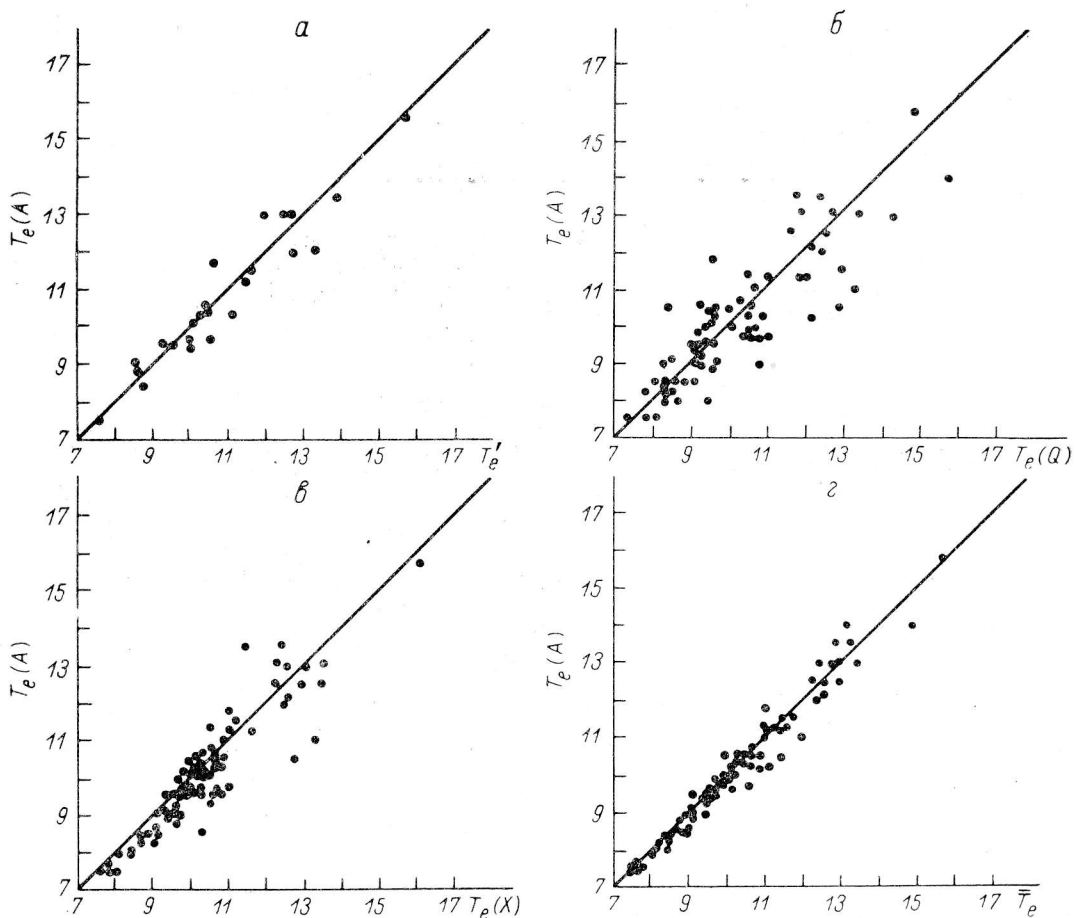


Рис. 1. Зависимость между $T_e(A)$ и температурами, полученными по разным фотометрическим параметрам.

$(T_e(A))$, $(T_e(Q))$ для 82 СР-звезд из работ Адельмана (работы I—XV). Оказалось, что оценка температуры пекулярических звезд по параметру Q дает завышение T_e в среднем на $\Delta T = 700$ К в диапазоне 1000—13500 К. Для T_e , меньших 10000 К, поправки $\Delta T_e = 0.2$ ($T_e(Q) - 6500$ К), а в диапазоне 13500 К $< T_e < 14500$ К величина $\Delta T_e = 0.7$ (14500 К — $T_e(Q)$). Если взять среднее значение разности температур, найденных по пашеновскому континууму и бальмеровскому скачку, из работ Адельмана, то оно оказывается равным ~ 670 К, т. е. примерно соответствует величине поправки, которую мы нашли. Это говорит о том, что различие возникает в основном из-за уменьшенного бальмеровского скачка у СР-звезд.

В работах Адельмана приведены звезды с температурами в пределах 7000—30000 К, следовательно, в этих пределах можно гарантировать правильность редукций. Для выяснения того, насколько хорошо T_e -температуры из работы [1] и $T_e(Q)$ сведены в одну систему и каково становится соотношение между $T_e(A)$ и T_e , $T_e(Q)$, мы построили графики, приведенные на рис. 1, *a* и *b*. Из ри-

сунков видно, что все температуры относительно хорошо коррелируют между собой, среднее расстояние точек порядка $\delta T_e \approx 370$ К на рис. 1, а и $\delta T_e \approx 700$ К на рис. 1, б. Оно оценивалось как

$$\delta T_e = \frac{\sum_{i=1}^n (T_{e,i} - T_e(Q))}{n},$$

где в числителе — отклонение точки $T_{e,i}$ от прямой для величины $T_e(A)$; n — число точек.

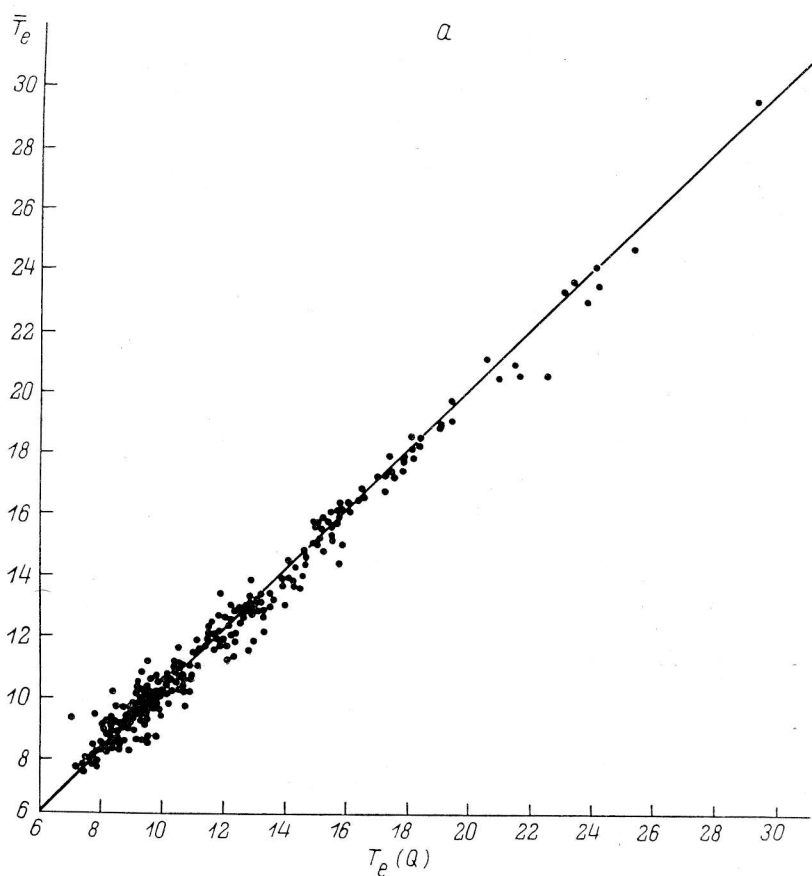


Рис. 2. Зависимость между средней \bar{T}_e и температурами, полученными по параметрам Q и X .

Определение T_e по параметрам многоцветной фотометрии. Оценки температур только по параметру Q не всегда являются достаточно надежными и точными. Это видно, в частности, по большому рассеянию точек на рис. 1, б. Для повышения точности T_e мы использовали данные многоцветной женевской фотометрии, которые достаточно точны и многочисленны [13]. На основании результатов работы Крамера и Медера [14] мы выбрали для этой цели параметр X , который является очень хорошим индикатором температуры для B -звезд III—V классов светимости. Крамер [15] прокалибривал параметр X по T_e , используя звезды из работы [16]. В этой работе определение точных эмпирических T_e было достигнуто путем использования видимых угловых диаметров и абсолютного распределения энергии в ультрафиолетовой, видимой и инфракрасной областях спектра. Пекулярные звезды не использовались при получении этой зависимости. Параметр X равен

$$X = 0.38 + 1.376U - 1.216B1 - 0.850B2 - 0.155V1 + 0.840G.$$

Чтобы судить о возможности применения этой калибровки к СР-звездам, мы определили $T_e(X)$ для 64 пекулярных звезд из списка Адельмана. Так же

как и в случае использования параметра Q , здесь наблюдается различие $T_e(X)$ и $T_e(A)$ в среднем на $\Delta T_e = 1500$ К в диапазоне температур $11000 \div 15000$ К. В сторону высоких температур это различие уменьшается, как $\Delta T_e = -1.2$ (16300 К — $T_e(X)$), при $T_e > 16300$ К поправка $\Delta T_e = 0$.

Сопоставление уже исправленных $T_e(X)$ с $T_e(A)$, а также с T_e и с $T_e(Q)$ показало значительное рассеяние точек для $T_e(X) < 11000$ К. На наш взгляд, параметр X в этом диапазоне температур становится очень чувствительным к влиянию спектральных линий. Поэтому было решено выбрать для $T_e <$

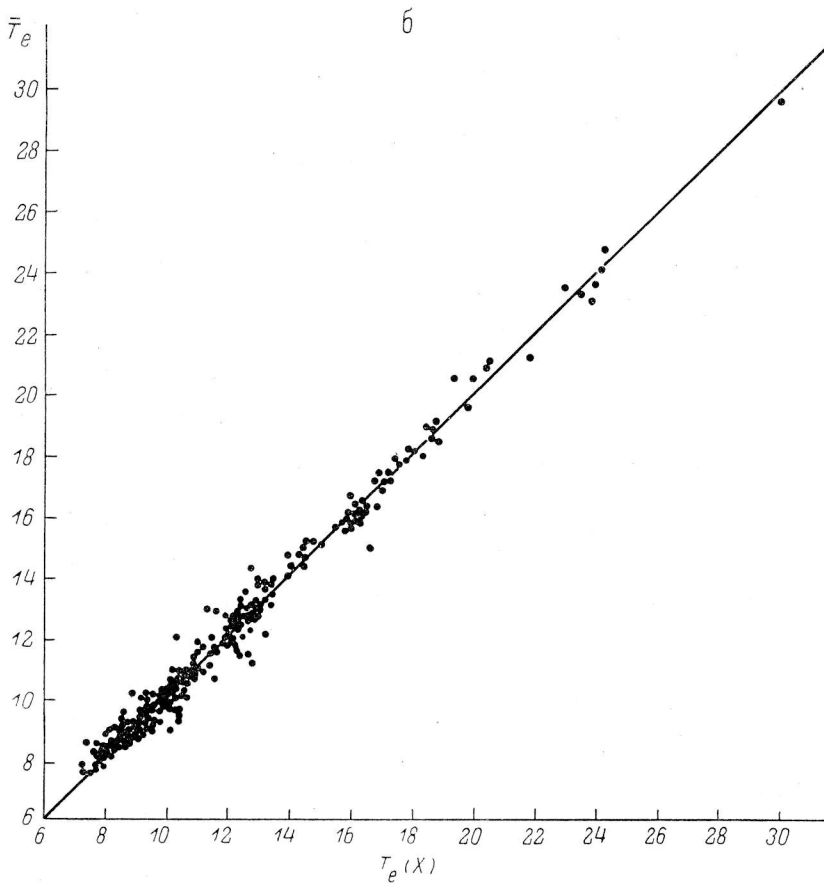


Рис. 2 (продолжение).

< 11000 К другой параметр многоцветной фотометрии, менее чувствительный к влиянию спектральных линий. Таким параметром оказался $(B2-G)$, рекомендованный в работе [17]. Калибровка его по температуре в системе Адельмана показала, что он наиболее надежен именно в диапазоне температур $7000 \div 11000$ К. Таким образом, оценки T_e в диапазоне $7000 \div 30000$ К осуществлены по двум параметрам с границей на 11000 К. В дальнейшем T_e , определенные как по параметру X , так и по $(B2-G)$, мы будем обозначать одинаково — $T_e(X)$. Сопоставление $T_e(A)$ и $T_e(X)$ дано на рис. 1, б; рассеяние $\delta T_e = 570$ К, т. е. немного меньше, чем на рис. 1, б.

Каталог эффективных температур. В таблице содержится список химически пекулярных звезд с эффективными температурами, которые оценены в системе Адельмана по описанной методике. Содержание первых трех столбцов понятно, далее последовательно приведены: эффективные температуры $T_e(A)$ из работ Адельмана и его сотрудников, температуры T'_e из работы [1], приведенные к системе Адельмана с помощью редукционных графиков, затем $T_e(Q)$, $T_e(X)$ и средние взвешенные значения температур \bar{T}_e :

$$\bar{T}_e = \sum_i K_i T_{e,i} / \sum_i K_i,$$

Эффективные температуры химически неизулярных звезд

HD	Звезда	Тип	$T_e(A)$	T'_e	$T_e(Q)$	$T_e(X)$	\bar{T}_e	K	σ, K	$\sigma, \%$
358	α And	HgMn SrCrEu Si	10 200 8 450	— — —	12 200 8 300 10 240	12 800 8 800 10 500	11 100 8 500 10 370	5 5 2	570 83 130	4.5 1.0 1.2
2453		HgMn SrCrEu	— —	— —	14 200	12 000	11 680	4	280	2.4
2888		SrCrEu	—	—	—	—	8 600	1	—	—
3322		He-w	—	—	—	—	9 600	2	50	0.5
3980		SrCrEu	—	—	—	—	9 600	2	350	2.6
4778		SrCrEu	—	—	—	—	13 200	2	450	5.5
5737		He-w	—	—	—	—	9 500	5	110	1.4
5797		SrCr	7 500	—	—	—	10 500	9 900	9 780	—
6164		SiCrEu	9 500	—	—	—	8 300	9 700	9 000	220
8441		SrCrEu	9 000	—	—	—	8 560	8 000	8 280	2.5
8374	47 And	Am	—	—	—	—	12 900	12 700	11 400	280
8855		SiCr	10 500	—	—	—	9 240	10 100	9 670	560
9996		CrEu	—	—	—	—	10 240	10 500	10 370	430
10224		SiCr	—	—	—	—	10 000	10 000	10 000	140
10783		SrCr	10 000	—	—	—	10 000	10 000	10 000	0
11187		SiCr	9 675	—	—	—	10 800	9 900	9 940	248
11593		Cr	—	—	—	—	9 600	—	—	2.2
12447		Cr	—	—	—	—	9 700	9 400	9 550	—
12288		Cr	8250	—	—	—	7 800	8 700	8 250	150
12767		Si	—	—	—	—	12 900	13 000	13 670	140
14392	γ Ari	Si	—	—	—	—	14 600	14 500	12 400	420
14437	α Psc A	SrCrEu	—	—	—	—	—	—	135	1.5
15089		SrCr	—	—	—	—	—	—	—	—
15144		SrCr	—	—	—	—	—	—	200	2.3
18078		SrCrEu	7 500	—	—	—	8 200	8 300	8 800	150
18296		SrCrEu	9 675	—	—	—	8 400	8 800	8 600	140
18769	24 Per	Am	—	—	—	—	10 700	10 700	10 700	135
19400	49 Ari	He-w	—	—	—	—	9 400	8 800	9 400	—
19832		Si	12 125	—	—	—	12 500	12 400	12 510	210
20240		Am	—	—	—	—	8 250	8 200	8 225	0
21590		Si	—	—	—	—	13 100	12 200	12 650	450
21699		He-w	—	—	—	—	16 000	16 000	16 000	0
22374		SrCr	8 250	—	—	—	8 400	8 600	8 300	70
22401		SiSrCr	—	—	—	—	10 100	10 200	10 150	50
22470		Si	—	—	—	—	13 000	13 100	13 050	150
22920		He-w	—	—	—	—	15 000	14 700	14 850	0
23193		Am	—	—	—	—	—	9 800	9 800	—
23281		Am	—	—	—	—	8 400	8 000	8 200	200

Продолжение

HD	Звезда	Тип	$T_e (A)$	T'_e	$T_e (Q)$	$T_e (X)$	\overline{T}_e	K	σ, K	$\sigma, \%$
23401	20 Tau	A2 IV He-w	—	—	9 400	9 200	9 300	2	100	1.4
23408		SrCrEu	—	—	12 500	12 000	12 250	2	250	2.0
24742		Si	—	—	7 400	7 600	7 350	2	250	3.4
25267		SrCrEu	—	—	11 650	12 000	11 825	2	175	1.5
25354		Al V	—	—	8 400	9 400	8 900	2	500	5.6
25490	41 Tau	Si	—	—	9 640	9 500	9 550	2	50	0.5
25823		Si	43 000	42 700	42 900	43 000	42 900	7	50	0.4
27295		Si	44 750	40 700	9 560	11 000	11 030	7	310	2.8
27309	56 Tau	Si	42 500	—	14 600	12 200	12 260	5	175	1.4
27628	60 Tau	Am	—	—	7 850	7 600	7 700	2	125	1.6
27749	63 Tau	Am	—	—	7 700	7 800	7 800	4	30	0.5
27962	68 Tau	Am	—	—	8 300	8 000	8 370	4	155	1.8
27226		Am	—	—	8 700	8 000	8 350	2	350	4.2
28546	81 Tau	Am	—	—	8 700	8 100	8 400	2	750	7.8
28843		He-w	—	—	15 000	15 000	15 000	2	0	0.0
29140		Am	—	—	8 560	8 400	8 500	2	100	1.2
29305		Si	—	—	14 200	14 600	14 400	2	200	1.7
29573		Am	—	—	9 800	9 200	9 500	2	300	3.2
30210		Am	—	—	8 600	8 500	8 550	2	50	0.5
30466		SiCr	—	—	10 400	11 200	10 800	2	400	3.7
30739	7 Ori	A0 V	—	—	10 250	9 400	9 800	2	400	4.1
31295		Ap	—	—	9 250	9 100	9 200	2	100	1.1
31647		Al V	—	—	9 250	9 400	9 300	2	100	1.4
32549	41 Ori	Si	—	10 300	9 300	10 100	10 000	4	240	2.4
32633		SiCr	12 500	—	12 500	12 900	12 580	5	80	0.6
32650		SiEu	13 500	—	12 350	14 400	12 850	5	430	3.3
33254		Am	—	—	8 250	8 100	8 200	2	100	1.2
33904		HgMn	—	—	14 700	14 800	14 750	2	50	0.4
34452		Si	45 750	45 700	14 900	16 000	15 650	7	130	0.8
34719		SiHgCrEu	—	—	14 800	12 180	14 970	2	175	1.5
34959		B5p	—	—	14 600	13 070	13 800	2	775	5.6
35248		He-w	—	—	15 700	16 200	15 950	2	250	1.6
35456		He-w	—	—	14 900	—	—	1	—	—
35502		He-w	—	—	16 400	16 400	16 400	2	0	0.0
35575		He-w	—	—	19 000	18 600	18 800	2	200	1.4
35730		He-w	—	—	18 400	17 500	17 800	2	300	1.7
35881		He-w	—	—	14 300	13 000	13 650	2	650	4.8
35912		He-r	—	—	19 000	18 700	18 850	2	450	0.8

Продолжение

HD	Звезда	Тип	$T_{\Theta} (A)$	T'_{Θ}	$T_e (Q)$	$T_e (X)$	T_e	K	σ, K	$\sigma, \%$
36046		He-w	—	—	45 500	—	15 500	1	—	—
36313		Si	—	—	42 500	—	12 500	1	—	—
36429		He-w	—	—	47 200	—	17 200	1	—	—
36430		He-r	—	—	48 100	—	18 450	2	350	4.9
36526		He-w	—	—	46 500	—	16 400	1	100	0.6
36526		He-w	—	—	46 600	—	16 600	1	—	—
36540		He-w	—	—	42 200	—	12 200	1	—	—
36549		He-w	—	—	24 400	—	20 900	2	500	2.4
36629		He-w	—	—	12 800	—	42 800	1	—	—
36668		He-w	—	—	16 200	—	16 200	1	—	—
36916		He-w	—	—	17 200	—	17 450	2	50	0.3
36958		He-w	—	—	20 900	—	20 450	2	450	2.2
37017		He-r	—	—	19 400	—	19 600	2	200	1.0
37058		He-w	—	—	19 300	—	19 050	2	250	1.3
37129		He-w	—	—	15 700	—	15 800	2	100	0.6
37140		He-w	—	—	14 300	—	12 650	2	825	6.4
37149		He-w	—	—	12 300	—	12 300	1	—	—
37151		Si	—	—	12 600	—	12 600	1	—	—
37210		He-w	—	—	12 900	—	12 550	2	150	4.2
37235		He-w	—	—	15 700	—	15 700	1	—	—
37321		Si	—	—	11 800	—	14 800	1	—	—
37470		He-r	—	—	23 300	—	23 650	2	350	1.6
37479		He-w	—	—	16 700	—	16 700	1	—	—
37525		Si	—	—	16 200	—	16 200	1	—	—
37642		He-r	—	—	23 900	—	22 200	2	850	3.7
37776		He-w	—	—	17 800	—	16 900	2	450	2.6
37807		Cr	—	—	8 600	—	8 600	5	120	1.4
38104	^o Aur	Hg	85 00	—	13 500	—	10 800	5	50	0.5
38478	^o Aur	A2p	10 425	—	9 800	—	9 550	2	250	2.7
39283	137 Tau	SiCr	40 000	—	9 400	—	10 200	5	130	1.3
39347	40183	A2 V	—	—	10 200	—	9 500	2	350	3.5
40312	6 Aur	Si	—	—	9 900	—	10 000	2	50	0.5
41357	Am	Am	—	—	8 600	—	8 200	2	200	2.2
41695	SrCrEu	A1 V	—	—	10 500	—	9 300	2	600	6.4
42616	Si	Si	14 000	—	9 000	—	9 000	2	0	0.0
43819	RR Lyn	Am	—	—	10 700	—	10 900	5	60	0.5
44694	He-w	He-w	—	—	8 300	—	8 250	2	50	0.6
44953	A0p	—	—	—	16 700	—	16 850	2	150	0.9
45827			—	—	8 300	—	8 350	2	50	0.8

Продолжение

II подавление

HD	Звезда	Тип	$T_e(A)$	T'_e	$T_e(Q)$	$T_e(X)$	$\overline{T_e}$	K	σ, K	$\sigma, \%$
77350	v Cnc	4042	10 375	10 400	9 500	10 000	10 200	7	130	1.3
77653		Si	—	—	13 450	12 650	12 900	2	250	1.9
78316	x Cnc	Hg	12 000	12 700	12 500	12 500	12 350	7	125	1.0
78362	π UMa	Am	—	7 500	7 500	7 500	7 500	4	0	0.0
79458	36 Lyn	He-W, Mn, Si	—	13 200	12 900	12 500	12 950	4	170	1.3
79447		He-r	—	—	17 000	17 200	17 400	2	400	0.6
81009		CrEuSr	—	—	7 600	8 400	8 000	2	400	5.0
82984		He-w	—	—	15 700	15 800	15 750	2	50	0.3
84046		He-w	—	—	12 200	12 300	12 250	2	50	0.4
89069		SrCrEu	9 000	—	9 400	9 700	9 150	5	175	1.9
89822	30 UMa	Hg	10 250	—	9 600	10 100	10 400	5	125	1.3
90044	25 Sex	SiCrSr	10 500	—	9 600	10 800	10 400	5	75	0.7
90264		He-w	—	10 600	9 300	9 500	10 000	4	350	3.5
90763		Sr	—	—	9 200	9 400	9 300	2	400	1.4
92664		Si	—	—	15 000	16 000	15 550	2	500	3.2
92938		He-r	—	—	15 500	15 600	15 500	2	50	0.3
93030		He-r	—	—	29 200	30 000	29 600	2	400	1.3
94660		Si	—	—	10 900	10 600	10 800	2	200	1.6
95608	60 Leo	Am	—	8 600	8 400	9 200	8 700	3	200	2.2
96707		Sr	—	—	7 800	8 300	8 000	2	300	3.7
96446		He-r	—	—	24 100	23 000	23 550	2	550	2.3
98088		SrCr	—	8 600	8 400	9 200	8 700	4	200	2.2
99992		He-w	—	—	25 800	—	25 800	1	—	—
CPD-62°24124		He-r	—	—	25 800	2	25 800	1	—	—
103498		SrCrEu	—	—	8 900	9 300	9 400	2	200	2.2
107168		Am	—	—	9 600	8 700	9 150	2	450	4.9
107612		C	—	—	9 200	9 400	9 300	2	100	1.4
108651	17 Com B	Am	—	—	9 400	8 400	8 900	2	500	5.6
108662	17 Com A	SrCr	10 425	10 400	9 500	9 800	10 000	7	90	0.9
108945		SrCr	9 000	8 600	9 200	9 200	8 950	7	100	1.4
109026		He-w	—	—	15 600	16 500	16 050	2	550	3.4
110066		CrEu	8 500	—	9 400	9 100	8 750	5	90	1.4
90569		SiCrEu	—	—	9 400	9 500	9 450	2	50	0.5
110073		4121, 4128	—	—	12 900	12 300	12 600	2	300	2.4
111133		SrCrEu	9 500	9 400	9 200	10 000	9 500	7	90	1.0
112185		Cr	—	—	8 300	9 500	8 900	2	600	6.7
112443		SiHgCrEu	—	12 100	11 800	11 500	11 900	4	140	1.2
145708		SrCrEu	—	—	9 900	11 000	10 450	2	550	5.3

Продолжение

HD	Звезда	T _{eff}	T _e (A)	T' _e	T _e (Q)	T _e (X)	T _e	K	σ, %	
									σ, K	σ, %
446458	78 Vir	SrEu	—	9 500	—	10 200	9 700	99 50	2	2.5
448022		SrCr	—	—	9 500	9 100	9 400	9 450	60	0.6
449243	84 UMa	CrEu	—	—	—	9 200	10 400	9 800	2	6.4
420498		Cr	40 600	—	—	10 300	10 300	5	580	5.6
120640		He-r	—	—	22 500	19 500	21 000	2	1500	7.4
120709	3 Cen A	He-w	—	—	15 700	16 900	16 300	2	600	3.7
122532		Si	—	—	10 000	10 000	10 000	2	0	0.0
124224	CU Vir	Si	13 000	—	11 900	12 300	12 460	7	200	1.6
125248		CrEu	—	—	9 200	9 500	9 300	2	200	2.4
125823		He-w	—	—	21 600	19 400	20 500	2	1400	5.4
126545		CrSr	—	—	9 000	9 600	9 300	2	300	3.2
127304		Si	—	—	10 700	10 200	10 500	2	300	2.9
128898		Eu	—	—	7 600	8 200	7 900	2	300	3.8
129474	π Boo	HgMn	41 250	—	11 900	11 600	11 450	5	130	4.2
130458		Si	—	—	10 700	10 400	10 500	2	400	1.0
130559	μ Lib A	SrCr	—	—	9 700	10 200	9 950	2	250	2.6
130844		SrCr	—	—	7 800	8 700	8 250	2	450	5.4
134420		He-w, Si	—	—	17 300	18 400	17 850	2	550	3.4
132058		He-r	—	—	21 500	17 200	19 250	2	2250	14.7
133029		SiCr	—	—	10 500	10 500	11 000	5	80	0.7
133518		He-r	—	—	—	—	20 200	1	0	0.0
133652		SiCr	—	—	12 330	13 000	12 660	2	340	2.7
133880		Si	—	—	13 300	12 000	12 660	2	660	5.2
134759		Si	—	—	14 450	14 600	14 500	2	0	0.0
134793		SrCrEu	—	—	9 400	10 200	9 800	2	400	4.1
135038		He-w	—	—	13 300	—	13 300	1	—	—
135382		Eu	—	—	8 500	—	8 500	1	—	—
135485		He-r	—	—	15 500	16 400	15 950	2	450	2.8
137509		He-w	—	—	—	14 000	14 000	1	—	—
137909	β CrB	SrCrEu	—	8 000	7 600	7 900	880	4	160	2.2
137949	33 Lib	SrCrEu	7 500	—	7 300	7 600	7 500	5	50	0.7
138729		He-w	—	—	—	23 000	23 000	1	—	—
140460		SrCr	—	—	8 700	9 400	9 500	9 100	4	220
140728		Cr	—	—	—	10 000	10 100	10 050	2	50
141556		Sr	—	—	—	9 700	10 400	10 050	2	350
141795		Am	—	—	—	7 800	8 600	8 200	2	400
142096		He-w	—	—	—	17 800	17 600	17 700	2	100
142304		He-w	—	—	—	17 400	17 200	17 300	2	100

HD	Звезда	Тип	T_e (A)	T'_e	T_e (Q)	T_e (X)	\overline{T}	K	σ , K	σ , %	
142884		He-W	—	—	15 000	16 300	15 650	2	650	4.4	
142990		He-W	—	—	18 300	18 600	18 450	2	150	0.8	
143699		He-W	—	—	15 300	16 200	15 750	2	450	2.9	
143807	CrB	Hg	10 500	10 400	10 000	10 200	10 360	7	230	2.3	
144206	v Her	HgMn	11 250	11 500	11 000	11 000	11 250	7	80	0.7	
144334		He-W	—	—	16 000	16 570	16 350	2	250	1.5	
144664		He-W	—	—	15 400	16 000	15 700	2	300	1.9	
144844		He-W	—	—	12 200	12 700	12 450	2	250	2.0	
145389	φ Her	HgMn	102 50	11 400	10 500	10 600	10 580	7	430	1.2	
145504		He-W	—	—	15 500	14 700	14 100	2	400	2.6	
146001		He-W	—	—	13 500	13 500	13 700	2	200	1.5	
147040		SiSr	—	—	12 700	13 000	12 850	2	250	1.9	
147550		Si	8 500	9 500	—	8 900	8 600	4	300	3.5	
148142	ω Her	Cr	—	—	9 200	9 400	9 400	4	60	0.7	
148367	v Oph	Am	—	—	7 700	8 300	8 000	2	300	3.7	
148898	ω Oph	SrCr	—	8 400	8 300	8 700	8 500	4	90	1.1	
149257		He-R	—	—	24 800	—	24 880	1	—	—	
149822		CrSiSr	—	—	10 700	10 300	10 200	5	140	1.3	
149914		CrEu	—	—	8 500	8 400	8 450	2	50	0.5	
151199		SrCr	—	—	9 400	9 200	9 300	2	100	1.1	
151346		He-W	—	—	15 200	14 000	14 600	2	600	4.1	
151525	45 Her	Cr	—	—	10 200	9 700	9 600	4	220	2.3	
152107	52 Her	SrCr	—	—	8 700	8 600	8 800	4	400	1.1	
152308	49 Her	Cr	—	10 800	9 200	9 900	10 200	4	380	3.7	
152386		Am	—	—	—	7 700	7 700	1	—	—	
153582		Cr	—	8 600	8 900	9 200	8 800	4	90	1.0	
CPD -69°2698		He-R	—	—	27 500	—	27 500	1	—	—	
157779		Si	9 900	—	9 200	9 600	9 700	5	150	1.5	
161480		He-W	—	—	14 600	14 000	14 300	2	300	2.4	
161733		He-W	—	—	15 500	14 700	15 100	2	400	2.6	
162374		He-W	—	—	17 800	17 800	17 800	2	0	0.0	
162724	B9	B9	—	—	10 400	9 000	9 950	2	950	9.5	
164258		SrCrEu	8 400	8 700	8 300	8 700	8 500	4	250	2.9	
164429		SrCrEu	—	—	10 100	10 400	10 200	2	150	1.5	
165207		He-R	—	—	20 900	—	20 900	1	—	—	
165429		SrCrEu	7 500	—	—	12 800	12 800	12 500	3	0	0.0
166733		He-W	—	—	25 200	24 300	24 750	2	1500	10.4	
166785		He-R	—	—	—	—	—	0	450	1.8	
169027		Mn	10 500	—	—	—	—	40 500	0	0.0	

Подключение

HD	Звезда	Тип	T_e (A)	T'_e	T_e (Q)	T_e (X)	\bar{T}_e	K	σ , K	σ , %	
169467	φ Dra	He-r	—	—	46 500	47 000	46 750	2	250	1.5	
170000		Si	—	—	14 200	12 000	11 650	4	170	1.4	
170397		Cr	—	—	9 600	9 600	9 600	2	0	0.0	
170973		SrSiCr	9 250	—	9 200	10 500	9 500	5	250	2.6	
171279		SrCr	—	—	—	8 700	8 700	1	—	—	
171782		SrSrCr	14 000	—	10 500	—	13 400	4	870	6.7	
172044		HgMn	11 000	—	13 300	13 300	11 950	5	570	4.7	
173524		Hg	11 350	—	12 000	—	11 520	4	200	2.0	
173648	ζ Lyr A	Am	—	—	8 600	8 300	8 450	2	150	1.8	
173650		SrSiCr	—	—	9 200	9 600	9 400	4	400	1.0	
174933		Hg	—	—	12 600	12 300	12 450	2	150	1.2	
175362		He-W, Si	—	—	18 300	18 000	18 450	2	150	0.8	
175744		Si	—	—	9 700	12 000	10 950	4	980	8.6	
176232		SrCr	—	—	7 700	7 560	8 000	4	90	1.2	
176582		He-W	—	—	18 100	—	18 100	4	—	—	
177003		He-r	—	—	19 600	—	19 600	4	—	—	
177440		Si	—	—	—	14 000	12 770	2	1 170	9.2	
177517		HgSi	—	—	—	9 400	10 050	2	650	6.5	
179527	19 Lyr	Si	9 500	—	—	9 600	9 780	5	260	2.6	
179761	21 Aql	Si	—	—	11 800	14 500	12 500	4	180	1.5	
182568		He-W	—	—	—	19 900	19 900	1	—	—	
183056	4 Cyg	Si	13 000	12 500	13 500	12 300	12 800	7	175	1.4	
183339		He-W	—	—	14 600	14 500	14 550	2	50	0.5	
184552	51 Sqr	Am	—	—	9 400	8 600	9 000	2	400	4.4	
184905		SrSiCr	9 675	—	—	10 700	10 700	5	240	2.4	
184927		He-r	—	—	24 500	—	24 500	4	—	—	
184961		SrCr	—	—	—	10 600	10 600	4	130	1.2	
187474		CrEu	—	—	—	10 500	10 200	2	150	1.4	
188044		SrCrEu	—	—	8 900	8 200	8 600	4	160	1.8	
189849		He-W	—	—	7 900	8 300	8 400	4	120	1.5	
190068	15 Vul	Am	—	—	—	9 500	10 200	5	140	1.4	
191742		SrCr	9 500	—	—	8 300	8 650	5	90	1.4	
191980		SrCrEu	8 000	—	—	8 300	8 450	5	—	—	
SI+36°37		He-r	—	—	16 200	—	16 200	1	—	—	
192678		Cr	9 000	—	22 200	—	22 200	1	15	2.4	
192913		Si	9 675	—	8 400	9 600	9 000	5	190	1.9	
193722		Si	—	—	10 500	10 400	9 980	5	190	1.9	
196171		Si	—	—	12 350	11 400	11 720	2	620	5.3	
196400		Si	—	—	14 400	13 500	13 400	5	200	1.5	
196502	73 Dra	SrCrEu	13 000	—	—	8 850	9 000	8 900	5	—	—

Продолжение

HD	Звезда	тип	T_e (A)	T'_e	T_e (Q)	T_e (X)	$\overline{T_e}$	K	σ , K	σ , %
197461 198513	20 Cap	δ Del	—	—	7 400	7 600	7 500	2	100	4.3
199728		He-W	—	12 200	16 500	12 400	16 500	4	—	2.3
200477		Si	—	—	13 300	9 800	10 300	12 460	2	2.5
200311	γ Equ	Cr	—	—	13 600	13 400	13 000	10 050	2	1.9
201601		HgMn	12 500	—	8 000	8 000	7 600	5	250	0.9
202627		CrEu	7 500	7 600	9 100	9 100	8 850	7	70	2.8
202671		A2p?	—	—	14 600	13 000	13 800	2	800	5.8
203006	θ' Mic	He-W	—	—	9 700	9 200	9 500	2	300	3.2
204411		SrEuMg	—	—	8 400	9 600	8 800	7	140	1.6
204131		SidCr	8 750	8 600	—	9 600	9 600	1	—	—
205087		SisCr	—	—	10 470	10 700	10 840	7	200	1.9
205795	γ Cap	SiSrCrEu	10 500	11 600	9 300	—	9 300	4	—	—
206088		CrEu	—	—	8 900	7 800	8 000	4	300	3.9
206742		Am	—	7 600	9 200	9 800	9 500	2	300	3.2
207098	δ Cap	Si	—	—	8 600	7 700	8 150	2	450	5.5
207538		Am	—	—	34 700	32 400	31 900	2	200	0.6
207840		He-r	—	—	12 200	12 200	11 850	4	200	1.7
208266		Si	—	—	24 300	—	24 300	1	—	—
209339		He-r	—	—	30 200	—	30 200	1	—	—
209545		He-r	—	—	9 800	9 800	9 800	2	0	0.0
210071		40/12 Mg	—	—	11 500	12 800	12 450	2	650	5.3
210873		Hg	—	—	40 600	40 200	40 400	2	200	4.9
212454		HgMn	—	—	15 000	16 000	15 500	2	500	3.2
213232		He-W, P, Hg	—	—	8 400	8 700	8 550	2	150	4.7
213918		CrEu	—	—	17 200	16 000	16 600	2	600	3.6
2145038		SisSr	—	—	14 200	14 000	14 420	2	120	0.8
214544		Si	—	—	15 800	16 700	14 900	5	450	3.0
2146533		SrCr	8 250	—	8 400	9 000	8 450	5	100	1.2
216608		Am	—	—	8 100	7 900	8 000	2	100	1.2
217833		He-W, CrSi	—	—	15 800	16 000	16 000	2	350	2.2
217919		He-W	—	—	21 200	—	21 200	1	—	—
219749		Si	—	—	10 500	—	10 750	2	250	2.6
220147		SisSr	10 000	—	10 700	10 300	10 200	5	140	1.3
220825		CrSr	9 500	10 000	9 400	9 400	9 600	7	140	1.5
224394	x Psc	SrCr	—	9 400	8 300	9 400	9 400	4	270	3.0
224760	108 Aqr	Si	—	—	9 400	9 400	9 250	2	150	1.6
223640		Si	13 900	—	11 800	12 400	13 200	7	230	1.7
224801		SicCrEu	13 500	—	11 500	12 000	11 750	2	250	2.4
224926		He-W	—	—	14 000	13 500	13 750	2	13 500	—

тде $T_{\text{с},i}$ — усредняемые температуры, а K_i — их веса. Веса для $T_e(A)$, T'_e , $T_e(Q)$ и $T_e(X)$ приняты равными 3, 2, 1 и 1 соответственно, они приблизительно обратно пропорциональны разбросу точек при сопоставлении с $T_e(A)$. Для $T_e(A)$ взят наибольший вес ввиду того, что они являются основой для получения всех температур. В таблице K — суммарный вес среднего взвешенного. В последних двух столбцах даны средние квадратические ошибки σ средних температур \bar{T}_e в кельвинах и процентах, которые определялись в тех случаях, когда количество значений усредняемых температур было более 3. Когда оно было равно 2 или 3, оценивалась только разность между \bar{T}_e и максимально отличающимся от него значением T_e , участвующем в выведении среднего. Из таблицы видно, что в среднем $\sigma \approx 2 \div 3 \%$, небольшое число данных получилось с меньшей точностью. Для многих температур $\delta < 1 \%$, что говорит

в первую очередь не о точности этих величин, а о том, что усредняемые температуры после редукций оказались достаточно близкими; это некоторая гарантия правильности редукций. На рис. 1, г сопоставлены $T_e(A)$ и \bar{T}_e ; рассеяние точек в этом случае оказалось $\delta T_e = 235 \text{ K}$. На рис. 2 сопоставлены \bar{T}_e с $T_e(Q)$ и $T_e(X)$ во всем диапазоне температур.

Обсуждение результатов. Основными факторами, влияющими на точность приведенных температур, являются следующие.

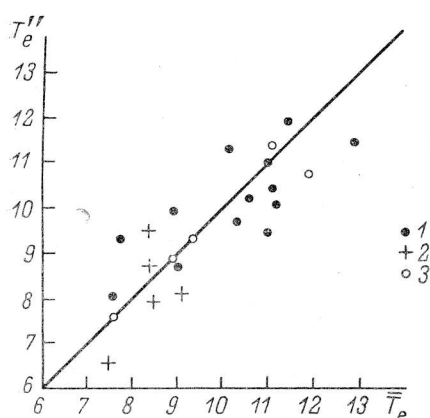
1. Система температур Адельмана зависит от калибровки [4], которая несомненно будет уточняться, и от сетки примененных моделей [10], которые также будут усовершенствоваться.

2. Химически пекулярные звезды в некоторых пределах переменны вследствие неоднородного распределения химических элементов и физических условий по поверхности. В среднем изменение T_e вследствие этого равно 200—300 K. Обычно измерения распределения энергии в непрерывных спектрах или показателей цвета осуществляются несколько раз, поэтому температуры получаются усредненными.

Рис. 3. Зависимость средней температуры \bar{T}_e и T_e , определенной по степени возбуждения и ионизации (1 — Ар-звезды, 2 — Am-звезды), а также по полному потоку в спектре 3 [23].

3. Распределение энергии в спектрах отдельных СР-звезд может быть искажено за счет особенностей строения атмосферы и аномального химического состава (в частности, вследствие увеличенного содержания легкоионизуемых элементов) [18—21], возможно, влияния магнитного поля [22], а также перезлучения энергии из ультрафиолетовой в видимую область спектра из-за усиления интенсивностей линий некоторых химических элементов.

Интересно сопоставить наши \bar{T}_e с теми, которые получены другими способами, например по возбуждению и ионизации химических элементов, по полному потоку и др. К сожалению, таких данных мало. На рис. 3 дано сравнение \bar{T}_e из нашего списка с температурами, определенными по степени возбуждения и ионизации методом кривых роста [1]. Несмотря на значительный разброс точек, в среднем около 1000 K, который происходит, несомненно, из-за неточности, даваемой методом кривых роста по спектрам с низкой дисперсией (14 Å/mm) и вследствие особенностей звезд, хорошо видно, что нет систематических различий между ними. На этом же графике нанесены пять оценок T_e , полученных на основании излучения полного потока в широком диапазоне длин волн [23]. Данные этого рисунка позволяют предполагать, что приведенная сводка эффективных температур не имеет значительных систематических ошибок вплоть до $T_e \approx 13000 \text{ K}$ и достаточно надежна для статистических исследований. К сожалению, в нашем распоряжении нет данных для аналогичной оценки для $T_e > 13000 \text{ K}$.



Литература

1. Глаголевский Ю. В., Козлова К. И., Чунакова Н. М. Об эффективных температурах пекулярных и металлических звезд. — Изв. САО, 1973, 5, с. 52—69.
2. Wolff S. C., Kuhri L. V., Hayes D. The effective temperatures of A and B stars. — *Astrophys. J.*, 1968, **152**, p. 871—884.
3. Jugaku I., Sargent W. L. W. Studies of the peculiar A stars. V. Continuous energy distributions. — *Astrophys. J.*, 1968, **151**, p. 259—268.
4. Hayes D. S., Latham D. W. A rediscussion of the atmospheric extinction and the absolute spectral energy distribution of Vega. — *Astrophys. J.*, 1975, **197**, p. 593—602.
5. Adelman S. J. Spectrophotometry of peculiar B and A stars. VII. — *Astron. Astrophys. Suppl. Ser.*, 1980, **42**, p. 375—382.
6. Adelman S. J. Spectrophotometry of peculiar B and A stars. VIII. — *Astron. Astrophys. Suppl. Ser.*, 1981, **43**, p. 25—32.
7. Ryper D. M., Adelman S. J. Spectrophotometry of peculiar B and A stars. XIII. — *Astron. Astrophys. Suppl. Ser.*, 1983, **51**, p. 365—384.
8. Adelman S. J. Spectrophotometry of peculiar B and A stars. XIV. — *Astron. Astrophys. Suppl. Ser.*, 1983, **51**, p. 511—532.
9. Adelman S. J., Ryper D. M. Spectrophotometry of peculiar B and A stars. XV. — *Astron. Astrophys.*, 1983, **118**, p. 313—320.
10. Kurek R. L. Model atmospheres for G, F, A, B and O stars. — *Astrophys. J. Suppl. Ser.*, 1979, **40**, p. 1—340.
11. Michalas D. M. Balmer-line-blanketed model atmospheres for A-type stars. — *Astrophys. J. Suppl. Ser.*, 1966, **13**, p. 4—30.
12. Глаголевский Ю. В. Некоторые результаты наблюдений непрерывных спектров магнитных звезд. — Астрон. журн., 1966, **43**, с. 73—79.
13. Rufener F. Third catalogue of stars measured in the Geneva Observatory Photometric System. — *Astron. Astroph. Suppl. Ser.*, 1981, **47**, p. 207—366.
14. Cramer N., Meader A. Luminosity and T_e determinations for B-type stars. — *Astron. Astrophys.*, 1979, **78**, p. 305—341.
15. Cramer N. Relations between UBV intrinsic colours and Geneva photometry for B-type stars. The effective temperature scales. — *Astron. Astroph.*, 1984, **132**, p. 283—290.
16. Empirical effective temperatures and bolometric corrections for early-type stars / A. D. Code, J. Davis, R. C. Bless, R. H. Brown. — *Astrophys. J.*, 1976, **203**, p. 417—434.
17. Hauck B., North P. Photometric properties of Ap stars in the Geneva system. — *Astron. Astrophys.*, 1982, **114**, p. 23—40.
18. Peterson D. M. The photometric variability of Ap stars. — *Astroph. J.*, 1970, **161**, p. 685—694.
19. Глаголевский Ю. В., Козлова К. И. Анализ водородных линий пекулярных звезд. — Астрофизика, 1967, **3**, с. 367—377.
20. Яблин В. М. О бальмеровских скачках пекулярных и магнитных звезд класса A. — Астрон. журн., 1967, **44**, с. 1224—1227.
21. Лешин В. В., Соколов В. В., Топильская Г. П. Влияние содержания легкоионизируемого элемента на атмосферы звезд. — Астрофизика, 1982, **18**, с. 423—438.
22. Trasco J. D. Models of the magnetic stars. — *Astrophys. J.*, 1970, **161**, p. 633—642.
23. Shalliss M. J., Blackwell D. E. Angular diameters, radii and effective temperatures of Ap stars. — *Astron. Astroph.*, 1979, **79**, p. 48—55.

Поступила в редакцию 15.11.84